

# 剛橢円スピーカアレイを用いた 焦点音源生成についての検討

☆任 逸, 羽田 陽一

電気通信大学大学院 情報理工学研究科

情報学専攻 羽田研究室

博士後期課程2年

# 研究背景

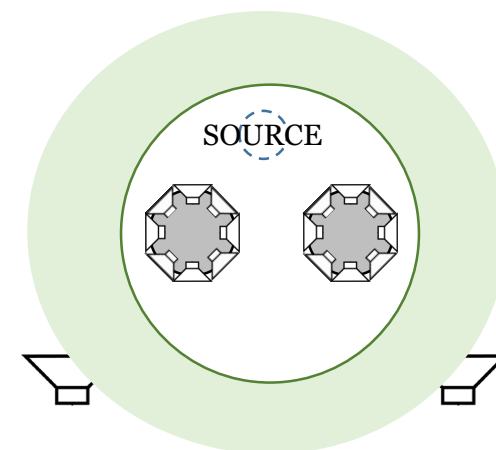
## • 焦点音源(仮想音源)生成

- スピーカが存在しない場所に放射音源を作る技術.
- 指向性を加えることで人の声, 楽器音なども忠実に再現可能.
- 立体映像技術に合わせて, 立体テレビやバーチャルコンサートなどのアプリケーションの実現が予想される.



# 先行研究

- 直線スピーカアレイ(LLA)を用いた手法
  - 波面合成法など.
  - 先行研究は数多くあるが, LLAの特性上, 受聴領域が三角形領域に限られている.
- 円形スピーカアレイ(CLA)を用いた手法
  - 仮想音源(焦点音源)を生成することが可能. (任ら, 2018春)
- 2つの円形スピーカアレイ(2CLA)を用いた手法
  - 低域では仮想音源(焦点音源)を生成することが可能.
  - CLAより放射効率が良い. (任, 羽田, 2018秋&2019春)

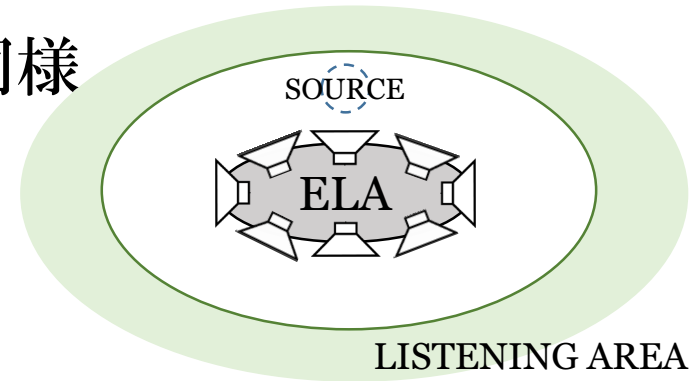


これまでの結果を踏まえて, 2CLAの**非対称性に注目し,**  
**楕円スピーカアレイ(ELA)について検討する.**

# 概要

- ・問題設定:CLAや2CLAの先行研究と同様

- ・2次元音場;理論値数値計算.
- ・スピーカアレイは剛体仮定.(無限長楕円筒)
- ・受聴領域は焦点音源の外部領域



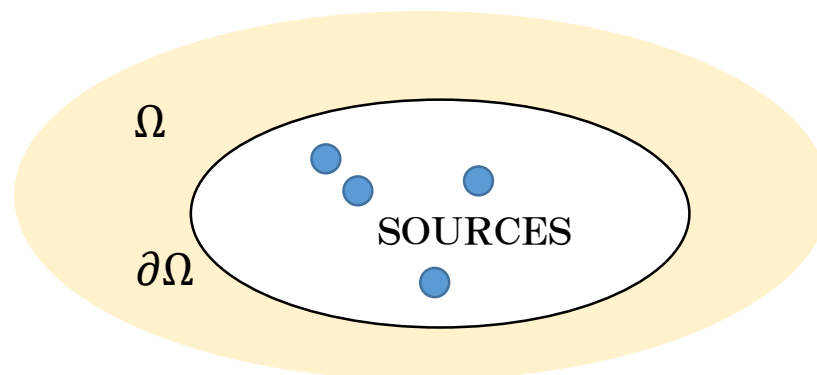
- ・再現手法:Mathieu関数展開に基づくモードマッチング法  
(音場再現)

- ・CLAを用いた円調和展開に基づくモードマッチング法と似ている
- ・ELAの内側音場再現では報告済み.(任, 羽田, 2019秋&2020春)
- ・同じ手法でELAの外側音場を再現.

- ・本研究の目的:剛楕円アレイで焦点音源生成を試みる;  
楕円形状と性能の関係性について調査.

# Mathieu関数展開に基づくMode Matching法

ELA外側音場再現の場合  
再現場：放射場



展開式(入射場の項が0)

$$p(\mu, \nu) = \sum_{n=-\infty}^{\infty} \alpha_n M_n^{(4)}(q, \mu) m e_n(q, \nu)$$

$\partial\Omega(\mu = \mu_0)$ 上の連続中空楕円音源による再生場は

$M_n^{(4)}(q, \mu)$ : 第4種Mathieu動径関数  
 $m e_n(q, \nu)$ : Mathieu角度関数

$$\hat{p}(\mu, \nu) = \int_0^{2\pi} G(\mu, \nu | \mu_0, \nu_l) D(\nu_l) \mu_0 d\nu_l$$

$$\hat{p}(\mu, \nu) = \sum_{n=-\infty}^{\infty} \left[ -\frac{u_0}{M_n^{(4)'}(q, \mu_0)} \right] d_n M_n^{(4)}(q, \mu) m e_n(q, \nu)$$

↓  
 $\beta_n$

# Mathieu関数展開に基づくMode Matching法

$p(\mu, \nu)$ と $\hat{p}(\mu, \nu)$ を一致させ, Mathieu関数の直交性により

$$d_n = \alpha_n / \beta_n$$

\*実際フィルタゲインを抑圧するため, ここはTikhonov正則化付きの最小二乗法で $d_n$ を求める.

周波数領域駆動信号

$$D(\nu_l) = \sum_{n=-\infty}^{\infty} d_n m e_n(q, \nu_l)$$

・ 剛楕円上に離散配置の $\mathcal{L}$ 個の音源

$$\hat{p}(\mu, \nu) = \sum_{l=1}^{\mathcal{L}} G(\mu, \nu | \mu_0, \nu_l) D(\nu_l)$$

$$\hat{p}(\mu, \nu) = \sum_{n=-\infty}^{\infty} \left[ \frac{\mathcal{L}}{2\pi M_n^{(4)'}(q, \mu_0)} \right] d_n M_n^{(4)}(q, \mu) m e_n(q, \nu)$$

↓  
 $\beta'_n$

# シミュレーション

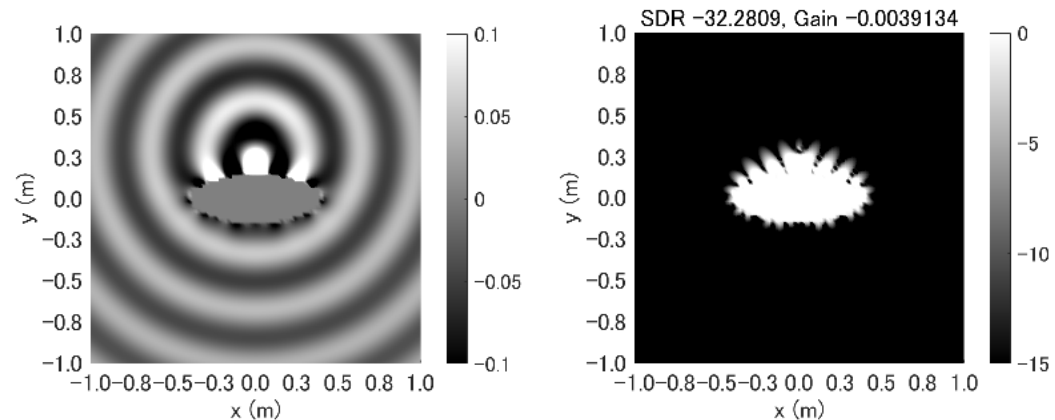
## ・単一周波数シミュレーション

・ $\mathcal{L} = 30$ , 長軸0.4 m, 短軸0.15 m, 1000 Hz

音源位置(0, 0.3 m)

左:波面

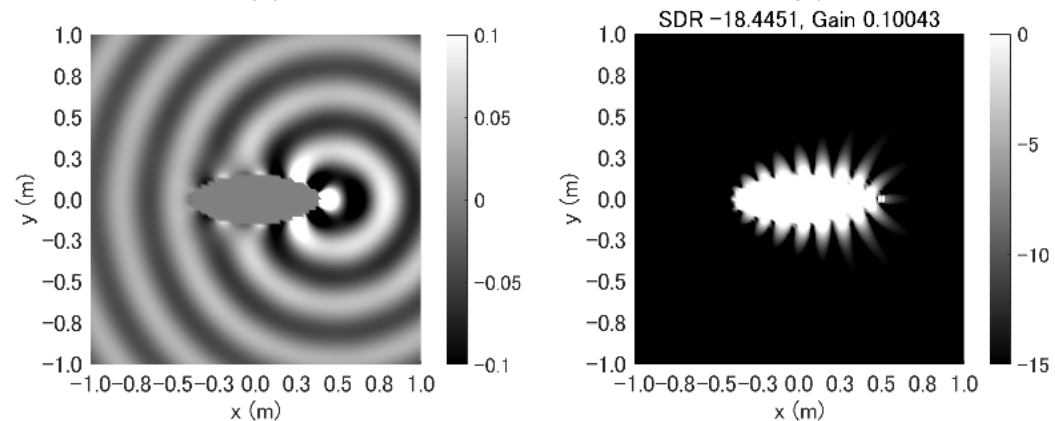
右:誤差



音源位置(0.5 m, 0)

左:波面

右:誤差



# シミュレーション

---

- ・帯域シミュレーション条件

- ・周波数帯域: 200 Hz ~ 2000 Hz

- ・高域はスピーカ数やフィルタゲインの制限で再現不可

- ・スピーカ数  $L = 30$

- ・所望音源(0, 0.5 m)

- ・デカルト座標系y軸上の一箇所のみ

- ・最大フィルタゲインを0 dB以下になるように, 正則化付きの最小二乗法でフィルタを求める

- ・楕円の形状と再現性能の関係性について調査

- 1. x軸上の軸長の変化による影響

- 2. y軸上の軸長の変化による影響

- 3. 円周の長さが一定である場合, 扁平率による影響

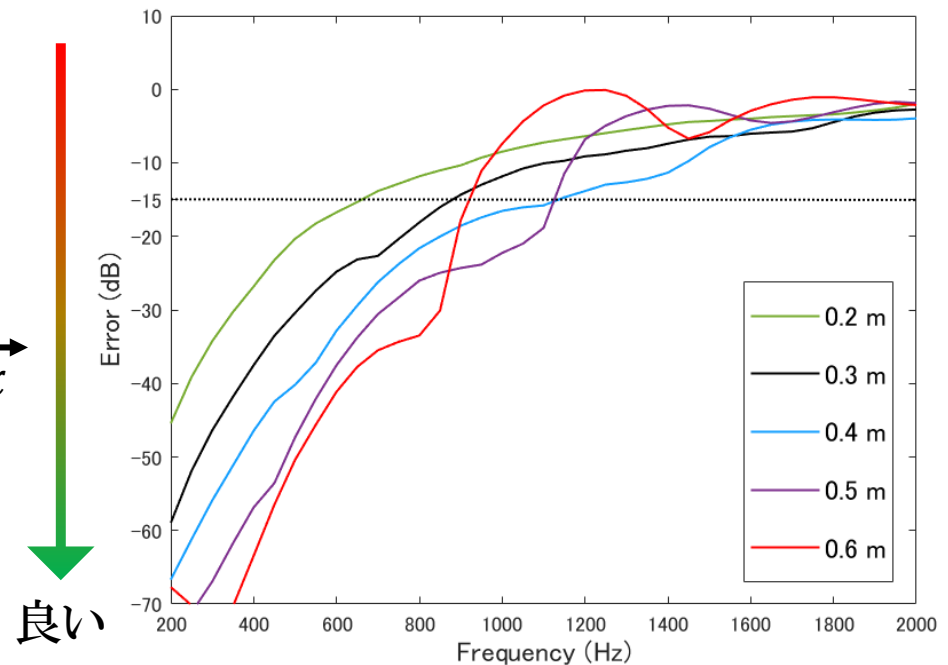
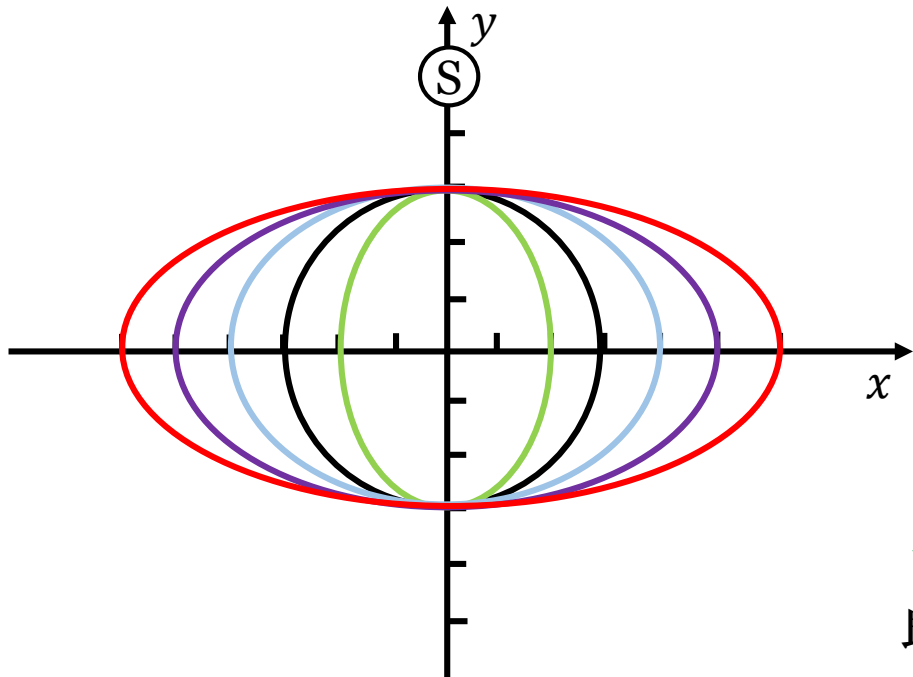
- 4. 面積が一定である場合, 扁平率による影響



# シミュレーション

## 1. x軸上の軸長の変化による影響

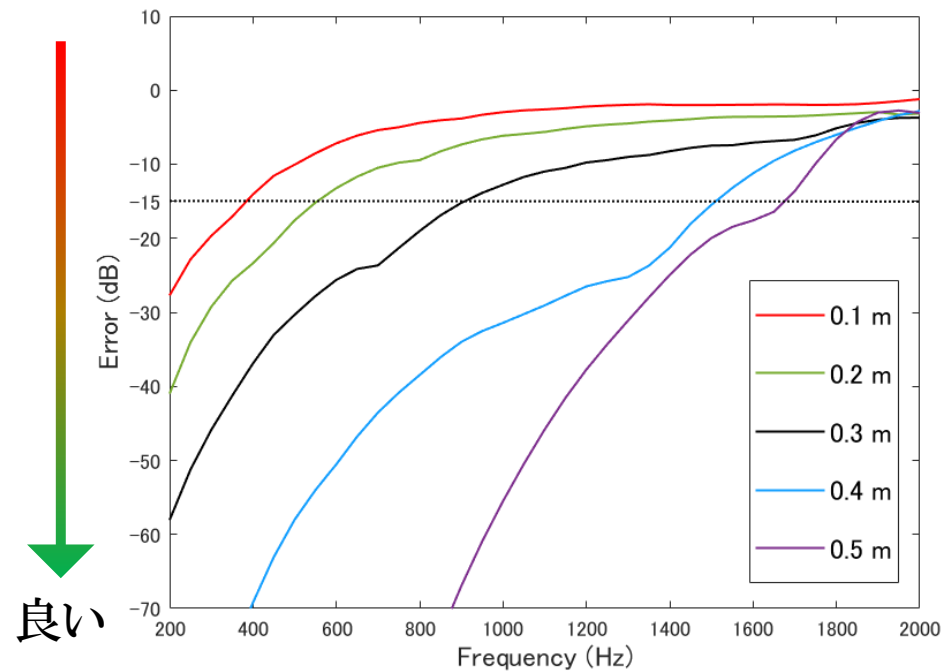
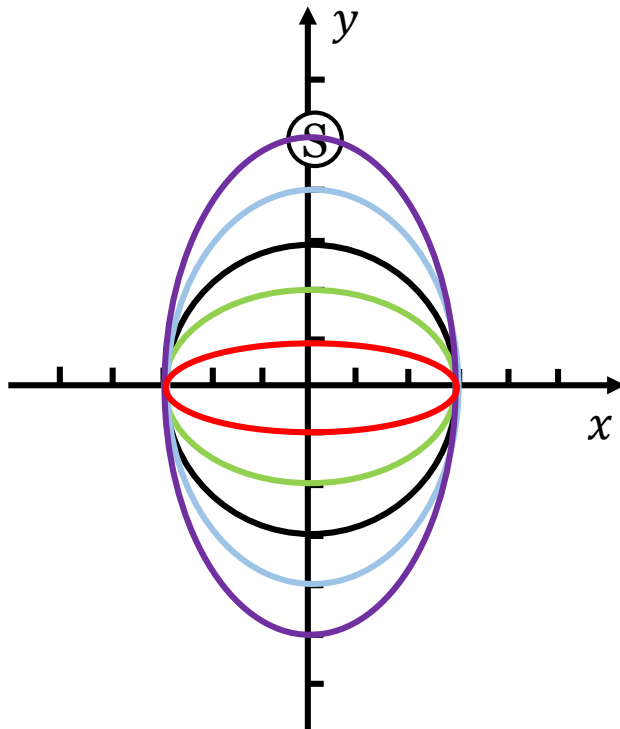
- x軸方向軸長0.2~0.6 m, y軸方向軸長0.3 m
- 黒がCLA



# シミュレーション

## 2. y軸上の軸長の変化による影響

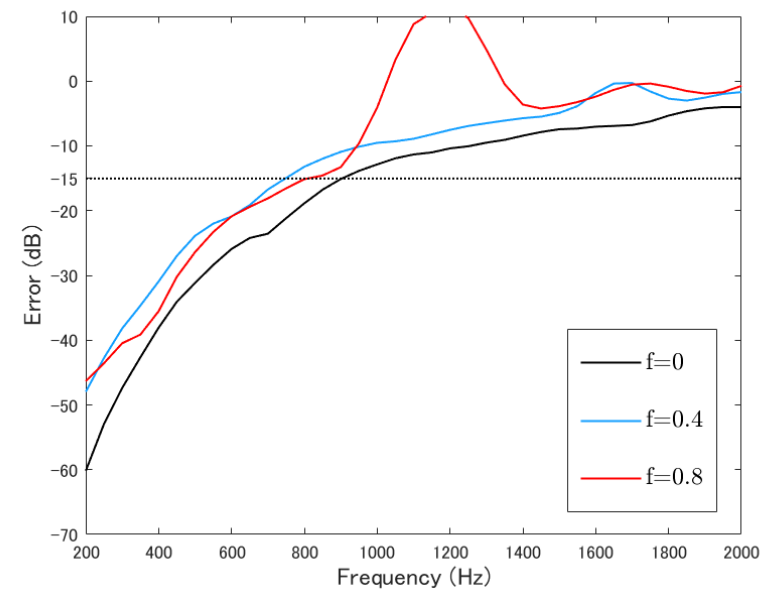
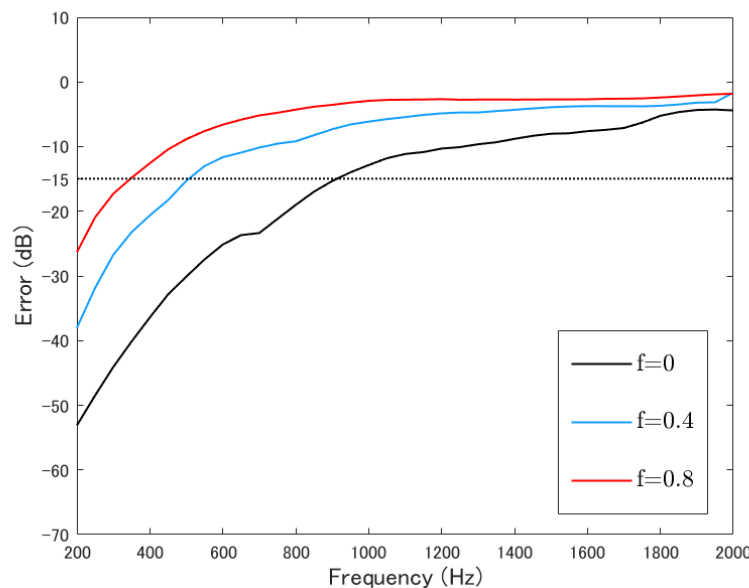
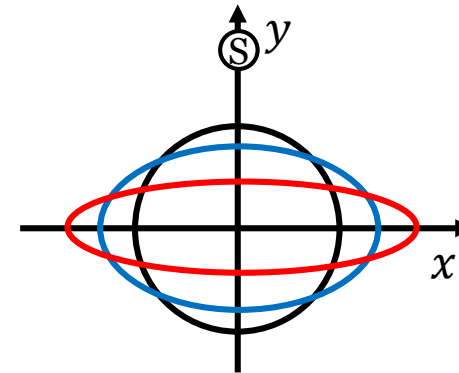
- x軸方向軸長0.3 m, y軸方向軸長0.1~0.5 m
- 黒がCLA



# シミュレーション

## 3&4. 扁平率による影響

- ① CLA: 半径0.3 m (扁平率0).
- ② ELA\_1: 扁平率0.4.
- ③ ELA\_2: 扁平率0.8.



  
 良い

円周の長さが一致

面積が一致

# まとめ

---

- 剛楕円スピーカアレイを用いて焦点音源を生成することが可能.
- **スピーカが音源に近づくほど**, 同一フィルタゲインでの**再現性能**(すなわち放射効率)**がよくなる**傾向がある.
- **片方の軸長を固定した場合, もう片方の軸長が長くなるほど再現性能がよくなる**傾向がわかった. ただし, ブロードサイド方向の軸長が長くなることによって, 再現可能な最大周波数が低くなる可能性もある.
- **円周の長さが一定であるとき**(等距離サンプリングとみなす場合, スピーカ間隔が一定となる), **扁平率が低いほど再現性能がよくなる**傾向がわかった.
- **面積が一定であるとき**, 低域において, **扁平率による性能差は小さい**であることがわかった.

# 補足：焦点音源の展開係数

Green関数・円筒波伝達関数

$$G(\mu, \nu | \mu', \nu')$$

$$= -\frac{j}{4} \sum_{n=-\infty}^{\infty} M_n^{(1)}(q, \mu_{<}) M_n^{(4)}(q, \mu_{>}) m e_n(q, -\nu') m e_n(q, \nu)$$

焦点音源の展開係数：

$$p(\mu, \nu) = \sum_{n=-\infty}^{\infty} \alpha_n M_n^{(4)}(q, \mu) m e_n(q, \nu) = G(\mu, \nu | \mu', \nu')$$

$$\alpha_n = -\frac{j}{4} M_n^{(1)}(q, \mu') m e_n(q, -\nu')$$

$$*\mu > \mu'$$

# 補足：剛楕円の伝達関数

- Neumann境界条件(音響的にRigid)

散乱係数

$$\gamma_n^{\text{sca}} = -\frac{M_n^{(1)'}(q, \mu_0)}{M_n^{(4)'}(q, \mu_0)} \gamma_n^{\text{inc}}$$

剛体楕円の方程式:  $\mu = \mu_0$

- Wronskian

$$\mathcal{W} \{M_n^{(1)}, M_n^{(4)}\} = -2j/\pi$$

- 剛楕円伝達関数

$$G(\mu, \nu | \mu_0, \nu_0) = -\frac{1}{2\pi} \sum_{n=-\infty}^{\infty} \frac{M_n^{(4)}(q, \mu)}{M_n^{(4)'}(q, \mu_0)} m e_n(q, -\nu_0) m e_n(q, \nu)$$